

การใช้อุปกรณ์สูดรายบีและอุปกรณ์สูดบ่างส่วน
ในการวิเคราะห์ขนาดและความถี่น้ำท่วมในลุ่มน้ำปิงตอนบน



นางสาววิชญาดา เดี่ยมสงวน

สถาบันวิทยบริการ

วิทยานิพนธ์เป็นส่วนหนึ่งของการศึกษาตามหลักสูตรปริญญาศึกษาศาสตร์มหาบัณฑิต
สาขาวิชาศึกษาความแหล่งน้ำ ภาควิชาศึกษาความแหล่งน้ำ

บัณฑิตวิทยาลัย จุฬาลงกรณ์มหาวิทยาลัย

ปีการศึกษา 2540

ISBN 974-638-231-4

ลิขสิทธิ์ของบัณฑิตวิทยาลัย จุฬาลงกรณ์มหาวิทยาลัย

USE OF ANNUAL SERIES AND PARTIAL SERIES FOR ANALYZING
FLOOD MAGNITUDE AND FREQUENCY IN THE UPPER PING RIVER BASIN

Miss Widchuda Liamsangaun

สถาบันวิทยบริการ
จุฬาลงกรณ์มหาวิทยาลัย
A Thesis Submitted in Partial Fulfillment of the Requirements
for the Degree of Master of Engineering in Water Resources Engineering

Department of Water Resources Engineering

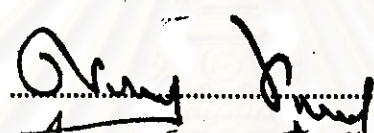
Graduate School

Academic Year 1997

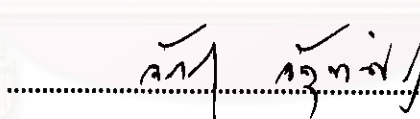
ISBN 974-638-231-4

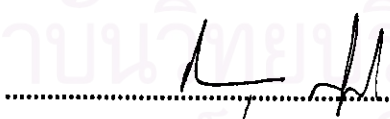
หัวข้อวิทยานิพนธ์ การใช้อุปกรณ์สูงสุดรายปีและอุปกรณ์สูงสุดบางส่วนในการวิเคราะห์
 ขนาดและความถี่น้ำท่วมในชุมชน้ำปิงตอนบน
 โดย นางสาววิชชุดา เลียมสงวน
 ภาควิชา วิศวกรรมแหล่งน้ำ
 อาจารย์ที่ปรึกษา อาจารย์ชัยยุทธ สุขครร
 อาจารย์ที่ปรึกษาร่วม รองศาสตราจารย์ ดร.วีระพล แต่สมบัติ

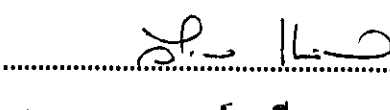
บันทึกวิทยาลัย จุฬาลงกรณ์มหาวิทยาลัย อนุมัติให้นักวิทยานิพนธ์ฉบับนี้เป็นส่วนหนึ่ง
 ของการศึกษาตามหลักสูตรปริญญามหาบัณฑิต

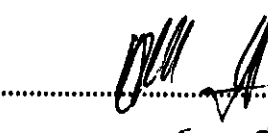

 คณบดีบันทึกวิทยาลัย
 (ศาสตราจารย์ นายแพทย์คุณวัฒน์ ชิตวงศ์)

คณบดีกิจกรรมการสอนวิทยานิพนธ์


 ประธานกรรมการ
 (ศาสตราจารย์จักรี จัตุภาคเรศ)


 อาจารย์ที่ปรึกษา
 (อาจารย์ชัยยุทธ สุขครร)


 อาจารย์ที่ปรึกษาร่วม
 (รองศาสตราจารย์ ดร.วีระพล แต่สมบัติ)


 กรรมการ
 (อาจารย์ ดร.เสรี จันทร์โยธา)

วิชญาดา เลี่ยมส่วน : การใช้อนุกรมสูงสุดรายปีและอนุกรมสูงสุดบางส่วนในการวิเคราะห์ขนาดและความถี่ที่น้ำท่วมใน
อุบลฯ ปีงบประมาณ (USE OF ANNUAL SERIES AND PARTIAL SERIES FOR ANALYZING FLOOD
MAGNITUDE AND FREQUENCY IN THE UPPER PING RIVER BASIN) อ.พ.ที่ปรึกษา : อาจารย์ชัยบุษ พุ่มสุข
อ.พ.ที่ปรึกษาวิจัย : รองศาสตราจารย์ ดร.วิวัฒน์ แต้สมบัติ, 166 หน้า, ISBN 974-638-231-4.

ข้อมูลที่ใช้ในการวิเคราะห์ขนาดและความถี่ที่น้ำท่วมที่นิยมกันโดยทั่วไปมีสองวิธี คือ ข้อมูลจากวิธีอนุกรมสูงสุดรายปี (AMS) และข้อมูลจากวิธีอนุกรมสูงสุดบางส่วน (PDS) การศึกษาวิจัยครั้งนี้เลือกใช้ข้อมูลจากห้องสมุดวิชี เพื่อนำเสนอวิธีการวิเคราะห์ขนาดและความถี่ที่น้ำท่วมที่คานการเกิดขึ้นต่าง ๆ โดยมีวัตถุประสงค์เพื่อเปรียบเทียบประสิทธิภาพของการใช้ห้องสมุดของข้อมูลต่างวิธี ข้อมูลพื้นฐานที่ใช้ในการวิเคราะห์ คือ ข้อมูลไม漫น้ำท่วมสูดในรอบเดือนของพื้นที่อุบลฯ ปีงบประมาณ โดยนำมูลค่าเฉลี่ยและความแปรปรวนใน การใช้ข้อมูลจากวิธีสองส่วนในการคาดคะเนขนาดและความถี่ที่น้ำท่วมได้อย่างมีประสิทธิภาพ การศึกษาครอบคลุมในประเด็นการเลือกค่าถ่วงมฐาน การตรวจสอบความเป็นอิสระของข้อมูล การคำนวณค่าพารามิเตอร์ การคำนวณค่าปริมาณการไหลและค่าความแปรปรวนของปริมาณการไหล การเบรย์เทียบประสิทธิภาพของการใช้ข้อมูลจากห้องสมุดความแปรปรวนของปริมาณการไหลด้วยวิธีหลายวิธี ได้แก่ วิธีกฤษฎีค่าแท้จริง (Rv,1) วิธีกฤษฎีค่าประมาณ (Rv,2) วิธีขอมูลวิริภัต (Rv,3) และวิธีค่าเฉลี่ยของความคลาดเคลื่อนกำลังสอง (Rm) การเบรย์เทียบความแตกต่างของปริมาณการไหลหลังจากเบรย์เทียบประสิทธิภาพจากการใช้ข้อมูลและการวิเคราะห์ความถี่ที่น้ำท่วมทั้งอุบลฯ โดยเลือกใช้ฟังก์ชันการแจกแจงความน่าจะเป็นแบบ Gumbel สำหรับข้อมูล AMS และเลือกฟังก์ชันแบบ Exponential และ Poisson ใน การอินบายน้ำและความถี่ตามลักษณะหัวน้ำข้อมูล PDS

ผลการวิเคราะห์ พบว่า การใช้ค่าพารามิเตอร์จากวิธีการน่าจะเป็นสูงสุด (ML) และวิธีโนเมนต์ (MM) ให้ผลการเบรย์เทียบประสิทธิภาพของการใช้ข้อมูลห้องสมุดลักษณะ แต่เนื่องจากค่าพารามิเตอร์จากวิธี ML ส่วนใหญ่ให้ค่าความแตกต่างสูงสุดระหว่างความถี่ข้อมูลน้ำท่วมที่คานวนจากการวิธี Plotting Position และจากฟังก์ชันการแจกแจงความน่าจะเป็นที่เลือกไว้ซึ่งค่าต่อกัน จำกผลลัพธ์สูงสุดได้ว่าค่าพารามิเตอร์จากวิธี ML เป็นวิธีที่เหมาะสมกว่าวิธี MM ใน การศึกษาโดยใช้ห้องสมุดของข้อมูลน้ำที่อุบลฯ และวิธี Rv,1 ซึ่งข้อมูล PDS ให้ค่าความแปรปรวนของปริมาณการไหลต่ำกว่าข้อมูล AMS เมื่อวิจัยทางทฤษฎีโดยเฉลี่ยต่อปี (λ) มีค่าอย่างน้อย ในช่วง 1.66-1.70 ส่วนการเบรย์เทียบโดยวิธี Rv,2 วิธี Rv,3 และวิธี Rm นั้นไม่สามารถสรุปผลได้ชัดเจน ถ้าหากของข้อมูลที่มีค่อนข้างสั้น ในส่วนความสัมพันธ์ระหว่างปริมาณการไหลรายปีต่อปริมาณการไหลเดลี่ พบว่า ที่คุณการเกิดขึ้นโดยเฉลี่ยเท่ากับ 2.5 ปี การประเมินค่าปริมาณการไหลจากข้อมูล PDS มีค่าสูงกว่าที่ประเมินจากข้อมูล AMS ซึ่งถูกนำไปใช้ในงานออกแบบอาคารชลศาสตร์ หรืองานบรรเทาอุทกภัย จะได้อาหารที่มีความปลอดภัยสูงกว่าหรือมีความเสี่ยงน้อยกว่าจากการใช้ข้อมูล AMS ทำให้เพิ่มความมั่นใจในการใช้ค่าปริมาณการไหลในการออกแบบมากขึ้น ทั้งยังเป็นการออกแบบโดยที่ปริมาณการไหลมีความสอดคล้องกับสภาพทางกายภาพ น่องจากค่าน้ำท่วมน้ำท่วมฐานและการดับและปริมาณน้ำจากสภาพทางกายภาพด้วย การวิเคราะห์ข้อมูลด้วยวิธี PDS ซึ่งเลือกค่าข้อมูลจากค่าน้ำท่วมน้ำท่วมฐานและมีการตรวจสอบความเป็นอิสระของข้อมูลก่อนจะนำไปใช้ในการวิเคราะห์ ทำให้เชื่อมันได้ว่าข้อมูลแต่ละค่ามีความเป็นอิสระต่อกัน และการผิดต่อค่าที่น้ำท่วมน้ำท่วมฐานมีค่าสูงจนทำให้ไม่มีข้อมูลในปีใดมีค่ามากกว่าค่าที่น้ำท่วมน้ำท่วมฐานลงกล่าว ซึ่งมีผลให้ไม่มีข้อมูลในอนุกรม PDS ที่จำเป็นต้องใช้การออกแบบจากข้อมูลวิธี AMS โดยไม่สามารถเลิกเฉลี่ยได้ บังจัดที่เกี่ยวข้องกับการวิเคราะห์ เช่น ตำแหน่งและทิศทางสถานีวัดน้ำท่วมน้ำท่วม บริเวณแห่งทกในพื้นที่ หรืออาคารชลศาสตร์ในบริเวณสถานีวัดน้ำท่วม มีผลต่อการวิเคราะห์ค่อนข้างน้อย โดยปัจจัยสำคัญที่สุดที่มีผลต่อการวิเคราะห์ ได้แก่ ขนาดของข้อมูล (N)

C819136 : MAJOR WATER RESOURCES ENGINEERING
KEY WORD: FLOODS / FLOOD FREQUENCY / ANNUAL SERIES / PARTIAL SERIES / UPPER PING BASIN
WIDCHUDA LIAMSANGAUN : USE OF ANNUAL SERIES AND PARTIAL SERIES FOR ANALYZING
FLOOD MAGNITUDE AND FREQUENCY IN THE UPPER PING RIVER BASIN. THESIS ADVISOR :
CHAIYUTH SUKHSRI, MS.CE. THESIS CO-ADVISOR : ASSOC. PROF. VIRAPHOL TAESOMBUT, Ph.D.
166 pp. ISBN 974-638-231-4.

Two types of data that are usually used for analysing flood magnitude and frequency are the Annual Maximum Series (AMS) and the Partial Duration Series (PDS). This research study uses both of them to demonstrate the processes of flood magnitude and frequency analysis for each return period and to compare their efficiency by using different types of data series. Daily peak discharges in the Upper Ping river basin are used as based data in order to study the condition and the appropriateness by using both types of data to predict and evaluate flood magnitude and frequency. The study covers methods/processes for choosing based flood (Q_b), testing of data independency, parameters estimation, computing annual discharge and its variance, and comparing efficiency of data used by taking the ratio of the discharge variation. Different techniques such as: Exact Theoretical Approach (Rv,1), Approximately Theoretical Approach (Rv,2), Empirical Approach (Rv,3) and Mean Square Error Approach (Rm) are employed. After computing the differences of annual discharge and analyzing regional flood frequency, the results are then compared. This process involves the selection of frequency distribution function, i.e. Gumbel Function for AMS, Exponential and Poisson Functions for explaining the average magnitude and for number of exceedances of PDS, respectively.

The results of analysis show that different methods of parameter estimation, i.e. Maximum Likelihood (ML) and Moment Method (MM), give similar results in comparing efficiency of data used. However, most of parameters from ML give less maximum difference between flood frequency from the Plotting Position method and the selected probability distribution function than from MM. Therefore, it can be concluded that ML is more suitable for parameter estimation than MM. Different techniques for comparing efficiency of data are employed. Rv,1 gives the most distinct result in which the PDS gives less discharge variation than the AMS, if it has the average number of exceedances at least in the range of 1.65-1.70. Other techniques such as: Rv,2 Rv,3 and Rm provide inconclusive outcomes because the recorded data is rather short. For the relation between annual discharge and its average at the return period of about 2.5, the estimation from the PDS gives higher annual discharge than the AMS, therefore it can improve reliability or provide less risk for designing hydraulics structures or flood relief measures. Furthermore, flood estimation from the PDS provides much more confidence in designing because it takes into account the stage and discharge from the physical condition thus the designing is in line with the natural condition. Data used by the PDS is firstly selected from the based flood and tested to ensure that the data in used is independent. In the case of the high based flood whereby there will be small data in the PDS series, the use of the AMS series in designing is inevitable. Other factors involving in this analysis such as the location of the recording stations, rainfall and the hydraulics structures in the area, contribute only little effect on the variation while the most important factor is the length of recorded data.

ภาควิชา วิศวกรรมแม่น้ำ ลายมือชื่อนิสิต รัฐกร เจริญวงศ์
สาขาวิชา วิศวกรรมแม่น้ำ ลายมือชื่ออาจารย์ที่ปรึกษา M.
ปีการศึกษา 2540 ลายมือชื่ออาจารย์ที่ปรึกษาร่วม S-L.C

กิตติกรรมประกาศ

วิทยานิพนธ์เล่มนี้สำเร็จได้ด้วยดี ผู้วิจัยขอกราบขอบพระคุณ อาจารย์ชัยยุทธ สุขศรี คณะช่างศาสตร์อาจารย์ ดร.วีระพล แต้สมบติ อาจารย์ที่ปรึกษาวิทยานิพนธ์ ที่กุณฑ์ให้คำแนะนำให้แนวทาง ให้คำปรึกษาแก้ไขปัญหาตลอดเวลาที่ทำการศึกษาวิจัยอย่างตื่นตัวไปถึงตรวจแก้ไข วิทยานิพนธ์จนสำเร็จเรียบร้อยด้วยดี ขอกราบขอบพระคุณ ศาสตราจารย์จักรี จตุภาคศรี อาจารย์ ดร.เสรี จันทร์โยธา และอาจารย์ ดร.ชาลิต ชาลีรักษ์ธรรมฤทธิ์ ที่ได้กุณฑ์ให้คำแนะนำเพื่อตรวจแก้ไขวิทยานิพนธ์จนสมบูรณ์ยิ่งขึ้น รวมทั้งคณาจารย์ในสาขาวิชาชีวกรรมแหล่งน้ำ ทุกท่านที่ได้ประสิทธิ์ประสาทความรู้ด้วย ฯ

ขอขอบคุณ เจ้าหน้าที่ฝ่ายวิเคราะห์และประเมินผล ของอุทกวิทยา เจ้าหน้าที่ศูนย์ อุทกวิทยาที่ 1 สำนักงานชลประทานที่ 1 จ.เชียงใหม่ กรมชลประทาน ที่กุณฑ์เอื้อเพื่อช้อมูล และเจ้าหน้าที่ภาควิชาชีวกรรมแหล่งน้ำทุกท่าน ที่เอื้อเพื่อและอ่านนายความสะท้อนให้การทำ วิทยานิพนธ์เป็นไปโดยราบรื่น และขอขอบคุณผองเพื่อน สำหรับกำลังใจ ความห่วงใย ความช่วยเหลือ และความหวังดีที่มีต่อผู้วิจัยตลอดมา

และท้ายสุด ขอกราบขอบพระคุณ พ่อและแม่อันเป็นที่รัก ที่ได้เลี้ยงดู อบรมผู้วิจัยด้วย ความรัก หล่อหลอมด้วยชีวิตและจิตใจให้เติบโต และมีการศึกษาที่ดีในวันนี้ ขอขอบคุณพี่สาว ที่นำรัก ที่ช่วยให้ผ่อนคลาย ดูแล และเป็นกำลังใจตลอดมา

หากวิทยานิพนธ์นี้มีผลดีและก่อให้เกิดประโยชน์ต่อส่วนรวมและสังคมแล้ว ผู้วิจัยขอขอบ ความเด็นใจแก่ผู้มีพระคุณทุกท่าน

วิชชุดา เลี่ยมสงวน

สารบัญ

หน้า

บทคัดย่อภาษาไทย	๑
บทคัดย่อภาษาอังกฤษ	๑
กิตติกรรมประการ	๒
สารบัญ	๓
สารบัญตาราง	๔
สารบัญรูป	๕
สัญลักษณ์ที่ใช้ในการศึกษา	๖
บทที่ 1 บทนำ	๑
1.1 ความเป็นมาและความสำคัญของปัญหา	๑
1.2 วัตถุประสงค์	๔
1.3 ขอบข่ายการศึกษา	๔
1.4 ขั้นตอนการศึกษา	๕
1.5 การศึกษาที่ผ่านมา	๗
1.6 คำจำกัดความ	๑๒
บทที่ 2 แนวทางการศึกษา	๑๕
2.1 การตรวจสอบความเป็นอิสระของข้อมูล	๑๕
2.2 การแจกแจงความน่าจะเป็น	๑๕
2.2.1 พังก์ชันการแจกแจงความน่าจะเป็นแบบ Gumbel	๑๖
2.2.2 พังก์ชันการแจกแจงความน่าจะเป็นแบบ Poisson	๑๗
2.2.3 พังก์ชันการแจกแจงความน่าจะเป็นแบบ Exponential	๑๘
2.3 ความสัมพันธ์ระหว่างค่าคาดการณ์ข้อมูล	
วิธีอนุกรมสูงสุดรายปีและข้อมูลอนุกรมสูงสุดบางส่วน	๒๑
2.4 การทดสอบความเหมาะสมสมของฟังก์ชันการแจกแจงความน่าจะเป็น	๒๑
2.5 การเลือกค่าน้ำท่วมฐาน	๒๔

สารบัญ (ต่อ)

หน้า

2.6 การประมาณค่าปริมาณน้ำท่วม	25
2.7 การประมาณค่าความแปรปรวนของปริมาณการไฟด	26
2.8 การเปรียบเทียบอัตราส่วนความแปรปรวนของปริมาณการไฟด	26
2.8.1 ความแปรปรวนของตัวอย่างข้อมูล	26
2.8.2 ค่าเฉลี่ยของความคลาดเคลื่อนกำลังสอง	27
2.9 การวิเคราะห์ความถี่น้ำท่วมทั้งคุณน้ำ	28
 บทที่ 3 พื้นที่ศึกษา	 30
3.1 อาณาเขต ที่ดัง และสภาพภูมิประเทศ	30
3.1.1 อาณาเขตและที่ดัง	30
3.1.2 สภาพภูมิประเทศ	30
3.2 สภาพภูมิอากาศ	32
3.3 ลุ่มน้ำและระบบแม่น้ำ	32
3.4 สภาพน้ำฝนและน้ำท่า	35
3.4.1 สภาพน้ำฝน	35
3.4.2 สภาพน้ำท่า	37
 บทที่ 4 ข้อมูลและการตรวจสอบข้อมูล	 42
4.1 ข้อมูลที่ใช้ในการศึกษา	42
4.1.1 ข้อมูลปริมาณน้ำท่วมรายวันสูงสุดของเดือน	42
4.1.2 ข้อมูลหน้าตัดทางน้ำ	45
4.1.3 ข้อมูลสภาพท้องน้ำ	45
4.1.4 ข้อมูลโครงการแหล่งน้ำและการพัฒนา	47
4.2 การตรวจสอบข้อมูล	47

สารบัญ (ต่อ)

หน้า

บทที่ 5 การวิเคราะห์ขนาดและความถี่น้ำท่วม	49
5.1 ข้อมูลปริมาณน้ำท่ารายวันสูงสุดของเดือน	49
5.2 การตรวจสอบความน่าเชื่อถือของข้อมูล	49
5.2.1 การตรวจสอบจากประวัติสถานี	49
5.2.2 การตรวจสอบด้วยวิธี Double Mass Analysis	50
5.2.3 การตรวจสอบด้วยวิธี Rating Curve	50
5.3 การแบ่งชนิดของข้อมูล	55
5.3.1 ข้อมูลจากวิธี AMS	55
5.3.2 ข้อมูลจากวิธี PDS	59
5.4 การตรวจสอบความเป็นอิสระของข้อมูล PDS	66
5.5 การเลือกชนิดของฟังก์ชันการแจกแจงความน่าจะเป็นของข้อมูล สำหรับวิธี PDS	66
5.6 การเปรียบเทียบประสิทธิภาพของการใช้ข้อมูลในการวิเคราะห์ขนาด และความถี่น้ำท่วม	68
5.7 การเปรียบเทียบปริมาณการให้ผลลัพธ์จากการเปลี่ยนแปลงของ ข้อมูล	79
5.8 การวิเคราะห์ความถี่น้ำท่วมทั้งลุ่มน้ำ	84
บทที่ 6 สรุปผลและข้อเสนอแนะ	103
6.1 สรุปผล	103
6.2 ข้อเสนอแนะ	105
รายงานสรุปผล	106

สารบัญ (ต่อ)

หน้า

ภาคผนวก	109
ภาคผนวก ก คำจำกัดความ	110
ภาคผนวก ข ข้อมูลทั่วไปของพื้นที่ลุ่มน้ำปิงตอนบน	113
- การตรวจสอบข้อมูล	114
- สภาพธารน้ำดิน และการใช้ที่ดิน	116
- ข้อมูลโครงการแหล่งน้ำและการพัฒนา ในพื้นที่ลุ่มน้ำแม่น้ำปิง	120
ภาคผนวก ค การพิจารณาสมการที่ใช้ในการประมาณค่าความแปรปรวน ของปริมาณการไหล	130
- จากข้อมูล AMS	131
- จากข้อมูล PDS	134
ภาคผนวก ง ตารางและภาพแสดงผลการวิเคราะห์ข้อมูล กรณีตัวอย่าง สถานี P.1	135
ประวัติผู้ศึกษา	166

สถาบันวิทยบริการ
จุฬาลงกรณ์มหาวิทยาลัย

สารบัญตาราง

หน้า

ตารางที่ 2.1	การเปรียบเทียบค่าความก่อข้าของข้อมูล AMS และ PDS	23
ตารางที่ 2.2	ค่า Δ วิกฤตของวิธี Smirnov-Kolmogorov	23
ตารางที่ 3.1	ปริมาณผนนเฉลี่ยและประเกษาของกลุ่มสถานที่พิจารณา ตามปริมาณผนนเฉลี่ย	40
ตารางที่ 3.2	ผลการสำรวจภาคสนาม	41
ตารางที่ 4.1	ช่วงความยาวข้อมูลน้ำท่าที่มีการสำรวจระดับและปริมาณน้ำ ที่สถานีต่าง ๆ ในคุณน้ำปิงตอนบน	43
ตารางที่ 4.2	สหปัจจานประวัติสถานี	44
ตารางที่ 4.3	การเปลี่ยนแปลงหน้าตัดลำน้ำของสถานีต่าง ๆ ที่ศึกษา	46
ตารางที่ 4.4	ระดับน้ำและปริมาณน้ำที่ทำให้เกิดปัญหาน้ำท่วมในแต่ละสถานี	48
ตารางที่ 5.1	สรุปค่าข้อมูลอนุกรมสูงสุดรายปี	56
ตารางที่ 5.2	สรุปค่าพารามิเตอร์ของข้อมูลอนุกรมสูงสุดรายปี	57
ตารางที่ 5.3	การตรวจสอบความเหมาะสมของพังก์ชันการแจกแจงความน่าจะเป็น ที่ระดับต่าง ๆ ด้วยวิธี Smirnov-Kolmogorov	58
ตารางที่ 5.4	ค่าน้ำท่วมฐานที่ได้จากการนีที่ 1	60
ตารางที่ 5.5	ค่าน้ำท่วมฐานที่ได้จากการนีที่ 2	61
ตารางที่ 5.6	ค่าน้ำท่วมฐานในแต่ละสถานีที่ศึกษา	67
ตารางที่ 5.7	สรุปค่าปริมาณการไหลเฉลี่ยทั้งจากข้อมูลอนุกรมสูงสุดรายปี และอนุกรมสูงสุดบางส่วน เมื่อใช้ค่าพารามิเตอร์จาก วิธีการน่าจะเป็นสูงสุด และตรวจสอบความเป็นอิสระของข้อมูล ที่ระดับความเชื่อมั่น 50% โดยแบ่งข้อมูลออกเป็นชุดย่อยชุดละ 5 ปี	70
ตารางที่ 5.8	สรุปค่าปริมาณการไหลเฉลี่ยทั้งจากข้อมูลอนุกรมสูงสุดรายปี และอนุกรมสูงสุดบางส่วน เมื่อใช้ค่าพารามิเตอร์จาก วิธีการน่าจะเป็นสูงสุด และตรวจสอบความเป็นอิสระของข้อมูล ที่ระดับความเชื่อมั่น 50% โดยแบ่งข้อมูลออกเป็นชุดย่อยชุดละ 10 ปี	71

สารบัญตาราง (ต่อ)

หน้า

ตารางที่ 5.9	สรุปค่าปริมาณการไหลเฉลี่ยทั้งจากข้อมูลอนุกรมสูงสุดรายปี และอนุกรมสูงสุดบางส่วน เมื่อใช้ค่าพารามิเตอร์จาก วีธีโนเมนต์ และตรวจสอบความเป็นอิสระของข้อมูล ที่ระดับความเชื่อมั่น 50% โดยแบ่งข้อมูลออกเป็นชุดย่อยชุดละ 5 ปี 72
ตารางที่ 5.10	สรุปค่าปริมาณการไหลเฉลี่ยทั้งจากข้อมูลอนุกรมสูงสุดรายปี และอนุกรมสูงสุดบางส่วน เมื่อใช้ค่าพารามิเตอร์จาก วีธีโนเมนต์ และตรวจสอบความเป็นอิสระของข้อมูล ที่ระดับความเชื่อมั่น 50% โดยแบ่งข้อมูลออกเป็นชุดย่อยชุดละ 10 ปี 73
ตารางที่ 5.11	สรุปค่าปริมาณการไหลเฉลี่ยทั้งจากข้อมูลอนุกรมสูงสุดรายปี และอนุกรมสูงสุดบางส่วน เมื่อใช้ค่าพารามิเตอร์จาก วีธีภาระน้ำจะเป็นสูงสุด และตรวจสอบความเป็นอิสระของข้อมูล ที่ระดับความเชื่อมั่น 75% โดยแบ่งข้อมูลออกเป็นชุดย่อยชุดละ 5 ปี 74
ตารางที่ 5.12	สรุปค่าปริมาณการไหลเฉลี่ยทั้งจากข้อมูลอนุกรมสูงสุดรายปี และอนุกรมสูงสุดบางส่วน เมื่อใช้ค่าพารามิเตอร์จาก วีธีภาระน้ำจะเป็นสูงสุด และตรวจสอบความเป็นอิสระของข้อมูล ที่ระดับความเชื่อมั่น 75% โดยแบ่งข้อมูลออกเป็นชุดย่อยชุดละ 10 ปี 75
ตารางที่ 5.13	สรุปค่าปริมาณการไหลเฉลี่ยทั้งจากข้อมูลอนุกรมสูงสุดรายปี และอนุกรมสูงสุดบางส่วน เมื่อใช้ค่าพารามิเตอร์จาก วีธีโนเมนต์ และตรวจสอบความเป็นอิสระของข้อมูล ที่ระดับความเชื่อมั่น 75% โดยแบ่งข้อมูลออกเป็นชุดย่อยชุดละ 5 ปี 76
ตารางที่ 5.14	สรุปค่าปริมาณการไหลเฉลี่ยทั้งจากข้อมูลอนุกรมสูงสุดรายปี และอนุกรมสูงสุดบางส่วน เมื่อใช้ค่าพารามิเตอร์จาก วีธีโนเมนต์ และตรวจสอบความเป็นอิสระของข้อมูล ที่ระดับความเชื่อมั่น 75% โดยแบ่งข้อมูลออกเป็นชุดย่อยชุดละ 10 ปี 77
ตารางที่ 5.15	สรุปค่า Q-Q ที่ได้จากการ Plotting Position ของสถานีต่าง ๆ ที่ศึกษา 78

สารบัญตาราง (ต่อ)

หน้า

ตารางที่ 5.16	ผลการวิเคราะห์การเปรียบเทียบประสิทธิภาพของการใช้ข้อมูล อนุกรมสูงสุดรายปีและอนุกรมสูงสุดบางส่วนในการวิเคราะห์ ขนาดและความถี่น้ำหนักทั่วไป 80
ตารางที่ 5.17	สรุปค่าน้ำหนักทั่วไปที่ได้จากการพากย์ภายนอกและค่าพารามิเตอร์ ของสถานีต่าง ๆ 82
ตารางที่ 5.18	การเปรียบเทียบปริมาณการให้จากอนุกรมข้อมูลสองวิธี โดยใช้วิธีทฤษฎีค่าแท้จริง กรณีใช้ค่าพารามิเตอร์จาก วิธีการน่าจะเป็นสูงสุด และตรวจสอบความเป็นอิสระของข้อมูล ที่ระดับความเชื่อมั่น 50% 85
ตารางที่ 5.19	การเปรียบเทียบปริมาณการให้จากอนุกรมข้อมูลสองวิธี โดยใช้วิธีทฤษฎีค่าแท้จริง กรณีใช้ค่าพารามิเตอร์จาก วิธีไม้เมนเดล และตรวจสอบความเป็นอิสระของข้อมูล ที่ระดับความเชื่อมั่น 50% 88
ตารางที่ 5.20	การเปรียบเทียบปริมาณการให้จากอนุกรมข้อมูลสองวิธี โดยใช้วิธีทฤษฎีค่าแท้จริง กรณีใช้ค่าพารามิเตอร์จาก วิธีการน่าจะเป็นสูงสุด และตรวจสอบความเป็นอิสระของข้อมูล ที่ระดับความเชื่อมั่น 75% 91
ตารางที่ 5.21	การเปรียบเทียบปริมาณการให้จากอนุกรมข้อมูลสองวิธี โดยใช้วิธีทฤษฎีค่าแท้จริง กรณีใช้ค่าพารามิเตอร์จาก วิธีไม้เมนเดล และตรวจสอบความเป็นอิสระของข้อมูล ที่ระดับความเชื่อมั่น 75% 94
ตารางที่ 5.22	อัตราส่วนระหว่างค่าปริมาณการให้รายปีต่อค่าปริมาณการให้เฉลี่ย ของกลุ่มสถานีที่ศึกษาทั้งหมด 98
ตารางที่ 5.23	อัตราส่วนระหว่างค่าปริมาณการให้รายปีต่อค่าปริมาณการให้เฉลี่ย ของกลุ่มสถานีที่มีที่ตั้งอยู่บนล้านนาปิง 98

สารบัญตาราง (ต่อ)

หน้า

ตารางที่ ๕.๒๔	อัตราส่วนระหว่างค่าปริมาณการไหลรายปีต่อค่าปริมาณการไหลเฉลี่ยของกลุ่มสถานีที่มีที่ดังอยู่บนผังข่ายของสำนักปีง 99
ตารางที่ ๕.๒๕	อัตราส่วนระหว่างค่าปริมาณการไหลรายปีต่อค่าปริมาณการไหลเฉลี่ยของกลุ่มสถานีที่มีที่ดังอยู่บนผังข่ายของสำนักปีง 99
ตารางที่ ๕.๒๖	การเปรียบเทียบผลจากการวัดกราฟระหว่าง $Q(T)/Q_M$ และ T 101
ตารางที่ ๕-๑	การวิเคราะห์ค่าพารามิเตอร์ของสถานี P.1 136
ตารางที่ ๕-๒	การทดสอบระดับความเชื่อมั่นของค่าพารามิเตอร์ของสถานี P.1 137
ตารางที่ ๕-๓	ตัวอย่างผลการวิเคราะห์ค่า $Rv,1$ โดยใช้ค่าพารามิเตอร์จากวิธีการน่าจะเป็นสูงสุด และตรวจสอบความเป็นอิสระของข้อมูลที่ระดับความเชื่อมั่น 50% 139
ตารางที่ ๕-๔	ตัวอย่างผลการวิเคราะห์ค่า $Rv,1$ โดยใช้ค่าพารามิเตอร์จากวิธีนิเมนต์ และตรวจสอบความเป็นอิสระของข้อมูลที่ระดับความเชื่อมั่น 50% 139
ตารางที่ ๕-๕	ตัวอย่างผลการวิเคราะห์ค่า $Rv,1$ โดยใช้ค่าพารามิเตอร์จากวิธีการน่าจะเป็นสูงสุด และตรวจสอบความเป็นอิสระของข้อมูลที่ระดับความเชื่อมั่น 75% 140
ตารางที่ ๕-๖	ตัวอย่างผลการวิเคราะห์ค่า $Rv,1$ โดยใช้ค่าพารามิเตอร์จากวิธีนิเมนต์ และตรวจสอบความเป็นอิสระของข้อมูลที่ระดับความเชื่อมั่น 75% 140
ตารางที่ ๕-๗	ตัวอย่างผลการวิเคราะห์ค่า $Rv,2$ โดยใช้ค่าพารามิเตอร์จากวิธีการน่าจะเป็นสูงสุด และตรวจสอบความเป็นอิสระของข้อมูลที่ระดับความเชื่อมั่น 50% 141
ตารางที่ ๕-๘	ตัวอย่างผลการวิเคราะห์ค่า $Rv,2$ โดยใช้ค่าพารามิเตอร์จากวิธีนิเมนต์ และตรวจสอบความเป็นอิสระของข้อมูลที่ระดับความเชื่อมั่น 50% 141

สารบัญตาราง (ต่อ)

หน้า

ตารางที่ ๔-๙	ตัวอย่างผลการวิเคราะห์ค่า Rv,2 โดยใช้ค่าพารามิเตอร์ จากวิธีการน้ำจะเป็นสูงสุด และตรวจสอบความเป็นอิสระของข้อมูล ที่ระดับความเชื่อมั่น 75%	142
ตารางที่ ๔-๑๐	ตัวอย่างผลการวิเคราะห์ค่า Rv,2 โดยใช้ค่าพารามิเตอร์ จากวิธีไมเมนต์ และตรวจสอบความเป็นอิสระของข้อมูล ที่ระดับความเชื่อมั่น 75%	142
ตารางที่ ๔-๑๑	ตัวอย่างผลการวิเคราะห์ค่า Rv,3 โดยใช้ค่าพารามิเตอร์ จากวิธีการน้ำจะเป็นสูงสุด และตรวจสอบความเป็นอิสระของข้อมูล ที่ระดับความเชื่อมั่น 50% และคำนวนค่าปริมาณการไหลเฉลี่ย ¹ จากขนาดข้อมูล $n = 5$ ปี	143
ตารางที่ ๔-๑๒	ตัวอย่างผลการวิเคราะห์ค่า Rv,3 โดยใช้ค่าพารามิเตอร์ จากวิธีการน้ำจะเป็นสูงสุด และตรวจสอบความเป็นอิสระของข้อมูล ที่ระดับความเชื่อมั่น 50% และคำนวนค่าปริมาณการไหลเฉลี่ย ¹ จากขนาดข้อมูล $n = 10$ ปี	143
ตารางที่ ๔-๑๓	ตัวอย่างผลการวิเคราะห์ค่า Rv,3 โดยใช้ค่าพารามิเตอร์ จากวิธีไมเมนต์ และตรวจสอบความเป็นอิสระของข้อมูล ที่ระดับความเชื่อมั่น 50% และคำนวนค่าปริมาณการไหลเฉลี่ย ¹ จากขนาดข้อมูล $n = 5$ ปี	144
ตารางที่ ๔-๑๔	ตัวอย่างผลการวิเคราะห์ค่า Rv,3 โดยใช้ค่าพารามิเตอร์ จากวิธีไมเมนต์ และตรวจสอบความเป็นอิสระของข้อมูล ที่ระดับความเชื่อมั่น 50% และคำนวนค่าปริมาณการไหลเฉลี่ย ¹ จากขนาดข้อมูล $n = 10$ ปี	144

สารบัญตาราง (ต่อ)

หน้า

ตารางที่ ๔-15	ตัวอย่างผลการวิเคราะห์ค่า Rv,3 โดยใช้ค่าพารามิเตอร์ จากวิธีภาระน้ำจะเป็นสูงสุด และตรวจสอบความเป็นอิสระของข้อมูล ที่ระดับความเชื่อมั่น 75% และคำนวนค่าปริมาณการไหลเฉลี่ย ^{.....}	145
ตารางที่ ๔-16	ตัวอย่างผลการวิเคราะห์ค่า Rv,3 โดยใช้ค่าพารามิเตอร์ จากวิธีภาระน้ำจะเป็นสูงสุด และตรวจสอบความเป็นอิสระของข้อมูล ที่ระดับความเชื่อมั่น 75% และคำนวนค่าปริมาณการไหลเฉลี่ย ^{.....} จากขนาดข้อมูล n = 5 ปี	145
ตารางที่ ๔-17	ตัวอย่างผลการวิเคราะห์ค่า Rv,3 โดยใช้ค่าพารามิเตอร์ จากวิธีโนเมนต์ และตรวจสอบความเป็นอิสระของข้อมูล ที่ระดับความเชื่อมั่น 75% และคำนวนค่าปริมาณการไหลเฉลี่ย ^{.....} จากขนาดข้อมูล n = 5 ปี	145
ตารางที่ ๔-18	ตัวอย่างผลการวิเคราะห์ค่า Rv,3 โดยใช้ค่าพารามิเตอร์ จากวิธีโนเมนต์ และตรวจสอบความเป็นอิสระของข้อมูล ที่ระดับความเชื่อมั่น 75% และคำนวนค่าปริมาณการไหลเฉลี่ย ^{.....} จากขนาดข้อมูล n = 10 ปี	146
ตารางที่ ๔-19	ตัวอย่างผลการวิเคราะห์ค่า Rm โดยใช้ค่าพารามิเตอร์ จากวิธีภาระน้ำจะเป็นสูงสุด และตรวจสอบความเป็นอิสระของข้อมูล ที่ระดับความเชื่อมั่น 50%	147
ตารางที่ ๔-20	ตัวอย่างผลการวิเคราะห์ค่า Rm โดยใช้ค่าพารามิเตอร์ จากวิธีโนเมนต์ และตรวจสอบความเป็นอิสระของข้อมูล ที่ระดับความเชื่อมั่น 50%	147
ตารางที่ ๔-21	ตัวอย่างผลการวิเคราะห์ค่า Rm โดยใช้ค่าพารามิเตอร์ จากวิธีภาระน้ำจะเป็นสูงสุด และตรวจสอบความเป็นอิสระของข้อมูล ที่ระดับความเชื่อมั่น 75%	148

สารบัญตาราง (ต่อ)

หน้า

ตารางที่ ๔-22	ตัวอย่างผลการวิเคราะห์ค่า Rm โดยใช้ค่าพารามิเตอร์ จากวีโนมานต์ และตรวจสอบความเป็นอิสระของข้อมูล ที่ระดับความเชื่อมั่น 75%	148
ตารางที่ ๔-23	สัญลักษณ์ที่ใช้ในการวาดกราฟ เมื่อใช้ข้อมูลของสถานี P.1	149



**สถาบันวิทยบริการ
จุฬาลงกรณ์มหาวิทยาลัย**

สารบัญรูป

หน้า

รูปที่ 1.1	พื้นที่น้ำท่วม จ.เชียงใหม่	2
รูปที่ 1.2	แผนภาพแสดงขั้นตอนการศึกษา	6
รูปที่ 3.1	แผนที่แสดงพื้นที่ลุ่มน้ำปิงตอนบน	31
รูปที่ 3.2	แผนที่แสดงทิศทางของลมมวล พายุไต้ฝุ่น และตำแหน่ง ของร่องความกดอากาศ	33
รูปที่ 3.3	แผนภูมิแสดงการจำลองระบบการไหลของสุมน้ำปิงตอนบน	34
รูปที่ 3.4	สถานีวัดปริมาณน้ำฝนที่ศึกษาในพื้นที่ลุ่มน้ำปิงตอนบน	36
รูปที่ 3.5	สถานีวัดปริมาณน้ำท่าที่ศึกษาในพื้นที่ลุ่มน้ำปิงตอนบน	38
รูปที่ 5.1	Double Mass Analysis ของแต่ละสถานี	51
รูปที่ 5.2	Rating Curve ของแต่ละสถานี	54
รูปที่ 5.3	R-curve ของแต่ละสถานี - กรณีตรวจสอบความเป็นอิสระของข้อมูลที่ระดับความเชื่อมั่น 50%	62
รูปที่ 5.4	R-curve ของแต่ละสถานี - กรณีตรวจสอบความเป็นอิสระของข้อมูลที่ระดับความเชื่อมั่น 75%	64
รูปที่ 5.5	ตัวอย่างของกราฟของสถานี P.1 เมื่อใช้ค่าพารามิเตอร์จาก วิธีการน่าจะเป็นสูงสุด และตรวจสอบความเป็นอิสระของข้อมูล ที่ระดับความเชื่อมั่น 50%	83
รูปที่ 5.6	การเปรียบเทียบปริมาณการไหลของสถานีที่ศึกษา - กรณีคำนวนค่าพารามิเตอร์จากวิธีการน่าจะเป็นสูงสุด และตรวจสอบความเป็นอิสระของข้อมูลที่ระดับความเชื่อมั่น 50%	86
รูปที่ 5.7	การเปรียบเทียบปริมาณการไหลของสถานีที่ศึกษา - กรณีคำนวนค่าพารามิเตอร์จากวิธีนิเมนต์ และตรวจสอบความเป็นอิสระของข้อมูลที่ระดับความเชื่อมั่น 50%	89
รูปที่ 5.8	การเปรียบเทียบปริมาณการไหลของสถานีที่ศึกษา - กรณีคำนวนค่าพารามิเตอร์จากวิธีการน่าจะเป็นสูงสุด และตรวจสอบความเป็นอิสระของข้อมูลที่ระดับความเชื่อมั่น 75%	92

สารบัญรูป (ต่อ)

หน้า

รูปที่ ๕.๙	การเปรียบเทียบปริมาณการไหลของสถานีที่ศึกษา - กรณีคำนวณค่าพารามิเตอร์จากวิธีโนเมนต์ และตรวจสอบความเป็นอิสระของข้อมูลที่ระดับความเชื่อมั่น 75% ๙๕
รูปที่ ๕.๑๐	กราฟแสดงอัตราส่วนระหว่างปริมาณการไหลต่อปริมาณการไหลเฉลี่ย ที่คำนวณได้ข้ามต่าง ๆ ๑๐๐
รูปที่ ก-๑	ลักษณะหน้าตัดทางน้ำของแต่ละสถานีในปีต่าง ๆ ๑๒๒
รูปที่ ๔-๑	ตัวอย่างกราฟ Rv,1 เมื่อตรวจสอบความเป็นอิสระของข้อมูล ที่ระดับความเชื่อมั่น 50% ๑๕๐
รูปที่ ๔-๒	ตัวอย่างกราฟ Rv,1 เมื่อตรวจสอบความเป็นอิสระของข้อมูล ที่ระดับความเชื่อมั่น 75% ๑๕๑
รูปที่ ๔-๓	ตัวอย่างกราฟ Rv,2 เมื่อตรวจสอบความเป็นอิสระของข้อมูล ที่ระดับความเชื่อมั่น 50% ๑๕๒
รูปที่ ๔-๔	ตัวอย่างกราฟ Rv,2 เมื่อตรวจสอบความเป็นอิสระของข้อมูล ที่ระดับความเชื่อมั่น 75% ๑๕๓
รูปที่ ๔-๕	ตัวอย่างกราฟ Rv,3 โดยใช้ค่าพารามิเตอร์จากวิธีภาระน้ำจะเป็นสูงสุด เมื่อตรวจสอบความเป็นอิสระของข้อมูลที่ระดับความเชื่อมั่น 50% และคำนวณค่าปริมาณการไหลเฉลี่ยจากขนาดข้อมูล $n = 5$ ปี ๑๕๔
รูปที่ ๔-๖	ตัวอย่างกราฟ Rv,3 โดยใช้ค่าพารามิเตอร์จากวิธีภาระน้ำจะเป็นสูงสุด เมื่อตรวจสอบความเป็นอิสระของข้อมูลที่ระดับความเชื่อมั่น 50% และคำนวณค่าปริมาณการไหลเฉลี่ยจากขนาดข้อมูล $n = 10$ ปี ๑๕๕
รูปที่ ๔-๗	ตัวอย่างกราฟ Rv,3 โดยใช้ค่าพารามิเตอร์จากวิธีภาระน้ำจะเป็นสูงสุด เมื่อตรวจสอบความเป็นอิสระของข้อมูลที่ระดับความเชื่อมั่น 75% และคำนวณค่าปริมาณการไหลเฉลี่ยจากขนาดข้อมูล $n = 5$ ปี ๑๕๖
รูปที่ ๔-๘	ตัวอย่างกราฟ Rv,3 โดยใช้ค่าพารามิเตอร์จากวิธีภาระน้ำจะเป็นสูงสุด เมื่อตรวจสอบความเป็นอิสระของข้อมูลที่ระดับความเชื่อมั่น 75% และคำนวณค่าปริมาณการไหลเฉลี่ยจากขนาดข้อมูล $n = 10$ ปี ๑๕๗

สารบัญรวม (ต่อ)

หน้า

รูปที่ ๔-9	ตัวอย่างกราฟ $Rv,3$ โดยใช้ค่าพารามิเตอร์จากวิธีนิเมนต์ เมื่อตรวจสอบความเป็นอิสระของข้อมูลที่ระดับความเชื่อมั่น 50% และคำนวณค่าปริมาณการไหลเฉลี่ยจากขนาดข้อมูล $g = 5$ ปี 158
รูปที่ ๔-10	ตัวอย่างกราฟ $Rv,3$ โดยใช้ค่าพารามิเตอร์จากวิธีนิเมนต์ เมื่อตรวจสอบความเป็นอิสระของข้อมูลที่ระดับความเชื่อมั่น 50% และคำนวณค่าปริมาณการไหลเฉลี่ยจากขนาดข้อมูล $g = 10$ ปี 159
รูปที่ ๔-11	ตัวอย่างกราฟ $Rv,3$ โดยใช้ค่าพารามิเตอร์จากวิธีนิเมนต์ เมื่อตรวจสอบความเป็นอิสระของข้อมูลที่ระดับความเชื่อมั่น 75% และคำนวณค่าปริมาณการไหลเฉลี่ยจากขนาดข้อมูล $g = 5$ ปี 160
รูปที่ ๔-12	ตัวอย่างกราฟ $Rv,3$ โดยใช้ค่าพารามิเตอร์จากวิธีนิเมนต์ เมื่อตรวจสอบความเป็นอิสระของข้อมูลที่ระดับความเชื่อมั่น 75% และคำนวณค่าปริมาณการไหลเฉลี่ยจากขนาดข้อมูล $g = 10$ ปี 161
รูปที่ ๔-13	ตัวอย่างกราฟ Rm เมื่อตรวจสอบความเป็นอิสระของข้อมูล ที่ระดับความเชื่อมั่น 50% 162
รูปที่ ๔-14	ตัวอย่างกราฟ Rm เมื่อตรวจสอบความเป็นอิสระของข้อมูล ที่ระดับความเชื่อมั่น 75% 164

**สถาบันวิทยบริการ
จุฬาลงกรณ์มหาวิทยาลัย**

สัญลักษณ์ที่ใช้ในการศึกษา

AMS	=	ข้อมูลนุกรมสูงสุดรายปี (Annual Maximum Series)
PDS	=	ข้อมูลนุกรมสูงสุดบางส่วน (Partial Duration Series)
ML	=	การประมาณค่าพารามิเตอร์โดยวิธีการน่าจะเป็นสูงสุด (Maximum Likelihood Method)
MM	=	การประมาณค่าพารามิเตอร์โดยวิธีโมเมนต์ (Moment Method)
α	=	ค่า scale parameter ของกากบาทแจ้งความน่าจะเป็นแบบ Gumbel
β	=	ขนาดของเหตุการณ์โดยเฉลี่ย (ถูกบากบัมตรต่อวินาที)
λ	=	จำนวนเหตุการณ์โดยเฉลี่ยต่อปี
μ	=	ค่าเฉลี่ย
σ	=	ส่วนเบี่ยงเบนมาตรฐาน (Standard Deviation)
σ^2	=	ค่าความแปรปรวน (Variance)
K	=	ค่าดัชนีความถี่ (Frequency Factor)
M	=	จำนวนเหตุการณ์ที่มีขนาดของปริมาณน้ำท่ามากกว่าค่าระดับน้ำท่วมฐาน ที่กำหนด
N	=	จำนวนตัวแปรทั้งหมดหรือขนาดของข้อมูลที่มีการเก็บรวบรวม
T	=	คิดการเกิดขึ้น (Return Period)
$y(\Gamma)$	=	ตัวแปรลดฐานมาตรฐานของ Gumbel (Reduced Gumbel Standard Variate)
$P(E_i)$	=	ความน่าจะเป็นที่จะเกิดเหตุการณ์ E_i
Q_m	=	ค่าปริมาณน้ำท่วมสูงสุดที่คิดการเกิดขึ้นที่กำหนด
Q_{Γ}	=	ค่าปริมาณน้ำท่วมสูงสุดที่ได้จากการประมาณค่าจากตัวอย่างล้ำดับที่ :
\bar{Q}_{Γ}	=	ค่าเฉลี่ยของ Q_{Γ} ทั้งหมด
Q_b	=	ค่าระดับน้ำท่วมฐาน (Base Flood)
Q_M	=	ค่าปริมาณน้ำท่วมสูงสุดรายปีเฉลี่ย
$Q_{\Gamma a}$	=	ค่าปริมาณการไหลที่ได้จากการประมาณค่าจากข้อมูลนุกรมสูงสุดรายปี
$Q_{\Gamma p}$	=	ค่าปริมาณการไหลที่ได้จากการประมาณค่าจากข้อมูลนุกรมสูงสุดบางส่วน
$\bar{Q}_{\Gamma a}$	=	ค่าปริมาณการไหลเฉลี่ยที่ได้จากการประมาณค่าจากข้อมูลนุกรมสูงสุดรายปี
$\bar{Q}_{\Gamma p}$	=	ค่าปริมาณการไหลเฉลี่ยที่ได้จากการประมาณค่า จากข้อมูลนุกรมสูงสุดบางส่วน

$\text{var}(Q(T)a)$ = ค่าความแปรปรวนของปริมาณการให้ได้จากการประมวลคำ
จากข้อมูลอนุกรมสูงสุดรายปี

$\text{var}(Q(T)p)$ = ค่าความแปรปรวนของปริมาณการให้ได้จากการประมวลคำจาก
ข้อมูลอนุกรมสูงสุดบางส่วน



สถาบันวิทยบริการ จุฬาลงกรณ์มหาวิทยาลัย